

北海道大学工学部 正員 能町純雄

正員 角田文雄

学生員 ○岸徳光

1. まえがき 構造物の静力学的性状に関しては、慣用法は勿論、立体的解析も常識となっているが、動力学的性状においても、慣用は梁理論と平行して立体的な解析があこなわれている。本論文では、断面形状の変化が構造物の動的问题に及ぼす影響や、Time delay が問題となるような振動波の伝播の性状を明らかにするための厳密な動的解析をおこなうとするものである。

つまり、Y.K. Cheung & M.S. Cheung⁽¹⁾によると、これ有限要素法的考え方とはなれ、構造物を折板要素に分割し、その要素を面内変形と面外変形に分け、それぞれ2次元応力問題と平板の曲げ問題の振動方程式と説明する。この方程式を有限なフーリエ変換⁽²⁾⁽³⁾を用いて厳密に解き、求められた諸式を座標変換マトリクスを行って、任意断面形状に適用するものである。解剖例として、ある薄肉箱桁をとりだし、その代表的な固有値と固有モードを示す。

2. 折板要素の振動方程式 fig-1 に示すような折板要素⁽⁴⁾に

あたって x, y, z 方向の変位をそれぞれ u, v, w とする。振動時には、変位は調和振動であらわされるような時間関数をもつ。故に角速度を ω としたとき変位 δ は $\delta = A \sin \omega t$ であるとする。 a は要素厚、 ρ は単位体積質量。

a. 面内変形に関する平衡方程式

$$\frac{\partial \sigma_x}{\partial x} + \frac{\partial \tau_{xy}}{\partial y} = \rho \frac{\partial^2 u}{\partial t^2} \quad (\text{x 方向}) \quad \dots (1)$$

$$\frac{\partial \sigma_y}{\partial y} + \frac{\partial \tau_{xy}}{\partial x} = \rho \frac{\partial^2 v}{\partial t^2} \quad (\text{y 方向}) \quad \dots (2)$$

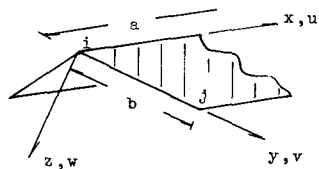


Fig. 1

弾性限度内を仮定し応力と歪の関係は Hook's law に従うものとすれば、平面応力問題では、

$$\sigma_x = \frac{E}{1-\nu^2} \left(\frac{\partial u}{\partial x} + \nu \frac{\partial v}{\partial y} \right) \quad \sigma_y = \frac{E}{1-\nu^2} \left(\frac{\partial v}{\partial y} + \nu \frac{\partial u}{\partial x} \right) \quad \tau_{xy} = G \left(\frac{\partial v}{\partial x} + \frac{\partial u}{\partial y} \right) \quad \dots (3)$$

(3) を用い、(1) に $\cos \frac{m\pi}{a} x \cdot \sin \frac{m\pi}{b} y$ 、(2) に $\sin \frac{m\pi}{a} x \cdot \cos \frac{m\pi}{b} y$ の変換を施し部分積分をおこなう。さらに、こう2式についての変換式を建立し解いて $C_m S_n [U]$ 、 $S_m C_n [V]$ を求め逆変換をおこなう。境界条件に留意して U, V を求める。

$$U = \frac{2}{a} \sum_{m=1}^{\infty} \cos \frac{m\pi}{a} x \cdot \left\{ Q_1(\eta) C_m[U_i] + Q_1(1-\eta) C_m[U_j] \right. \\ \left. + (1+\nu) \left(\frac{mb}{a} \right)^2 \frac{1}{\lambda_1^2 - \lambda_2^2} \left[\{Q_1(\eta) - Q_2(\eta)\} C_m[U_i] + \{Q_1(1-\eta) - Q_2(1-\eta)\} C_m[U_j] \right] \right. \\ \left. - \frac{1+\nu}{2G} \left(\frac{mb}{a} \right) \frac{b}{\pi} \frac{1}{\lambda_1^2 - \lambda_2^2} \left[\{Q_1(\eta) - Q_2(\eta)\} S_m[\Omega_{y,i}] + \{Q_1(1-\eta) - Q_2(1-\eta)\} S_m[\Omega_{y,j}] \right] \right\} \dots (4)$$

$$V = \frac{2}{a} \sum_{m=1}^{\infty} \sin \frac{m\pi}{a} x \cdot \left\{ \frac{mb}{a} \frac{1}{\lambda_1} \left[\xi_1(\eta) C_m[U_i] - \xi_1(1-\eta) C_m[U_j] \right] - \frac{b}{G \lambda_1} \left[\xi_1(\eta) S_m[\Omega_{y,i}] - \xi_1(1-\eta) S_m[\Omega_{y,j}] \right] \right. \\ \left. - (1+\nu) \frac{mb}{a} \frac{1}{\lambda_1^2 - \lambda_2^2} \left[\{\lambda_1 \xi_1(\eta) - \lambda_2 \xi_2(\eta)\} C_m[U_i] - \{\lambda_1 \xi_1(1-\eta) - \lambda_2 \xi_2(1-\eta)\} C_m[U_j] \right] \right\}$$

$$+ \frac{1+v}{2G} \left(\frac{b}{\pi} \right) \frac{1}{\lambda_1^2 - \lambda_2^2} \left[\{ \lambda_1 \xi_1(\eta) - \lambda_2 \xi_2(\eta) \} S_m[\alpha_{y1}] - \{ \lambda_1 \xi_1(1-\eta) - \lambda_2 \xi_2(1-\eta) \} S_m[\alpha_{y2}] \right] \quad \dots (5)$$

但し $\eta = y/b$, $C_m[U] = \int_0^a U \cos \frac{m\pi}{a} x dx$, $S_m[\alpha_y] = \int_0^a \alpha_y \sin \frac{m\pi}{a} x dx$, $\lambda_1^2 = \left(\frac{mb}{\alpha} \right)^2 - \frac{D^2}{G} \left(\frac{b}{\pi} \right)^2$
 $Q(\eta) = \frac{ch \pi \alpha (2-\eta) - ch \pi \alpha \eta}{ch 2 \pi \alpha - 1}$, $\xi(\eta) = \frac{sh \pi \alpha (2-\eta) + sh \pi \alpha \eta}{ch 2 \pi \alpha - 1}$, $\lambda_2^2 = \left(\frac{mb}{\alpha} \right)^2 - \frac{D^2}{E} \left(\frac{b}{\pi} \right)^2$

求められた変位を(3)に代入することにより、面内変形に対する断面力が求まる。

(b) 面外変形に関して、静的には、

$$\frac{\partial^2 M_x}{\partial x^2} + 2 \frac{\partial^2 M_{yx}}{\partial x \partial y} + \frac{\partial^2 M_y}{\partial y^2} = -D \Delta \omega \quad \dots (6)$$

また、 $R_x = \frac{\partial M_x}{\partial x} + 2 \frac{\partial M_{yx}}{\partial y}$, $R_y = \frac{\partial M_y}{\partial y} + 2 \frac{\partial M_{yx}}{\partial x}$, $M_x = -D \left(\frac{\partial^2 \omega}{\partial x^2} + v \frac{\partial^2 \omega}{\partial y^2} \right)$, $M_y = -D \left(\frac{\partial^2 \omega}{\partial y^2} + v \frac{\partial^2 \omega}{\partial x^2} \right)$, $M_{yx} = -D(1-v) \frac{\partial^2 \omega}{\partial x \partial y} \quad \dots (7)$
 面内変形と同様に、L型の変換を施し部分積分をあこない整理すると重調和微分式に対するGreenの積分が導かれる。すなわち

$$D \iint_0^a \left\{ (\Delta \omega)_L - (\Delta \omega) W \right\} dx dy = R(\omega, L) \quad \dots (8)$$

慣性力の入った平衡方程式は $D \Delta \omega = q - p h \frac{\partial^2 \omega}{\partial t^2}$, $q=0$ として (8) に代入し $L = \sin \frac{m\pi}{a} x \sin \frac{m\pi}{b} y$ とし
 て解き $S_m S_n [W]$ を求め、逆変換をおこない境界条件を考慮すると W は

$$W = \frac{2}{\alpha} \sum_{m=1}^{\infty} \sin \frac{m\pi}{a} x \left[-\frac{1}{D} \left(\frac{b^2}{\pi^2} \right) \frac{1}{\lambda_3^2 - \lambda_4^2} \left\{ \{ Q_3(\eta) - Q_4(\eta) \} S_m[M_{y1}] + \{ Q_3(1-\eta) - Q_4(1-\eta) \} S_m[M_{y2}] \right\} \right. \\ \left. + \frac{1}{\lambda_3^2 - \lambda_4^2} \left[\{ \lambda_3^2 Q_3(\eta) - \lambda_4^2 Q_4(\eta) \} S_m[W_1] + \{ \lambda_3^2 Q_3(1-\eta) - \lambda_4^2 Q_4(1-\eta) \} S_m[W_2] \right] \right. \\ \left. - \left(\frac{mb}{\alpha} \right)^2 \frac{2-v}{\lambda_3^2 - \lambda_4^2} \left[\{ Q_3(\eta) - Q_4(\eta) \} S_m[W_1] + \{ Q_3(1-\eta) - Q_4(1-\eta) \} S_m[W_2] \right] \right] \quad \dots (9)$$

但し $\lambda_3^2 = \left(\frac{mb}{\alpha} \right)^2 - \left(\frac{b}{\pi} \right)^2 \frac{D^2}{h}$, $\lambda_4^2 = \left(\frac{mb}{\alpha} \right)^2 + \left(\frac{b}{\pi} \right)^2 \frac{D^2}{h}$ であり、(7) に (9) を代入することにより断面力が求まる。

3. 固有値計算 面内、面外に関する断面力を変位やあらわし、座標変換マトリクスを導入して複線における力のつりあいを考える。この操作を構造全体に適用するに $[K][\alpha] = 0$ となり $\det[K] = 0$ より固有値が求まる。

4. 解析例 fig-2 に示すような両端単純支持の薄肉箱桁について、固有値と固有モードを求めた。fig-3 に半波長 500 cm の断面方向低次モードだけを示す
 固有値は比速度 C_0 である ($C_0 = \sqrt{\frac{E}{G_p}}$)

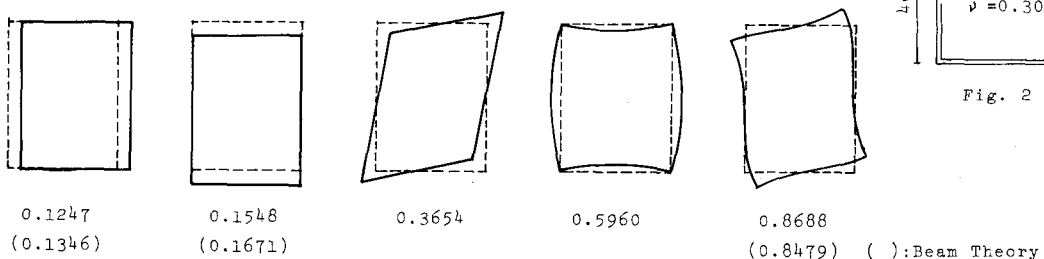
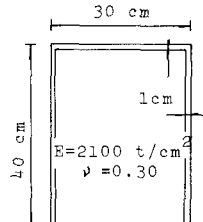


Fig. 3

参考文献 1) Y.K. Cheung & M.S. Cheung Free Vibration of Curved and Straight Beam - Slab or Box Girder Bridges' IABSE 1972

2) 能町 純雄 平板及び平面弹性問題に対する有限なフリーフリードムの応用

東京工大研究報告 昭31

3) 能町 純雄 弹性基礎にある四辺 四隅自由な矩形板の曲げについて

土木学会論文報告集 第32号